

東北大学工学部 正会員 松尾英夫  
東北大学工学部 正会員 首藤伸夫

1. まえがき ドライ・ベッド上の急流不定流現象は津波の海上面上やダム越波問題などと並んで重要視される。最近、この現象の予測法と、2次元計算法が認められつつあるが、その物理的解釈は不十分であるといえよう。そこで、本研究はその物理的解釈の一歩として、2次元計算によるドライ・ベッド上の急流不定流の実験を行った。その結果につき若干の考察を行つたのである。

2. 実験方法 図-1に示す幅30cmの水路部が正面ガラス張りの鋼製矩形水路である。実験を行つた。ゲートは1枚1枚揚げ式である。水流速度条件は横断方向の不規則性を1/10とした場合(横幅S=5と20cm)とさうではない場合の2種類である。斜面は木板×300mmの木製(高さK=5mm)である。底水路面条件はT=1, 脱着水深hoを10~60cmまで2通り行つた。測定量はゲート下流0.3mから1/m<sup>-1</sup>に設置した計6本の抵抗錐式波高計による自由表面形、ゲート下流0.16mに設置した電磁流速計による流速の時間変化、波先端位置の16mm高速撮影(14コマ/秒)とモータードライバーカメラによる(5コマ/秒)空自流形撮影である。

### 3. 結果および考察

3-1 波先端の軌跡 図-2は波先端軌跡の-134を示す。図中の曲線は各人の実験値を組合せたWhithamの近似理論解を式(1)で示す。

$$a = \frac{b_0}{f} (0.04862p^3 + 0.02603p^4 + 0.01262p^5 + 0.00635p^6 + 0.00319p^7 + 0.00161p^8 + 0.00081p^9 - 0.00167p^{10} + \dots) \quad (1)$$

$$x = \frac{t}{f} \sqrt{\frac{b_0}{g}} (0.02431p^3 + 0.02163p^4 + 0.01496p^5 + 0.00941p^6 + 0.00635p^7 + 0.00378p^8 + 0.00186p^9 + \dots) \quad (2)$$

= 2, a: 波先端位置, f: 抵抗係数, t: 時間, g: 重力加速度, p:  $p = 2 - \frac{1}{150}$  が理屈から0をp≤2のとき。

= 0.1とすると、貯留水深hoより波先端部の抵抗係数は大きくなることは、同様のこととは不規則性がない場合についても言えた。よって、波先端位置の予測には抵抗係数の評価が重要な問題となる。

3-2 波先端部の抵抗係数 足立によると、定常流の場合の前面への不規則性があることによる抵抗係数は式(3)で示される。

$$f = [1.60 \log_{10} \frac{H}{K} - 1.91 + 1.575 + 0.12 (\frac{H}{K})^{0.8}] / \log_{10} \frac{H}{K} \quad (3)$$

= 2, H: 水深。但し、 $8 < S_1 K < 160$  の抵抗係数と本実験が得られたWhithamの抵抗係数を比較する。実験では不規則流の代表水深Hの選択が問題である。S=2, 理論の適用範囲に含まれる、定常的Tの境界層厚を示すゲートによる水深hoとHとの比較は図-3に示す。図中の細線は足立の実験式である。これはS=3と、横相度の場合はWhithamの抵抗係数はゲートの水深と境界層の代表水深とみなして足立の式(3)を用いて1層と可視化される。一方、横相度がS=2の場合の図では、S=3と水深と界面則との比較による理則的偏差を示す。

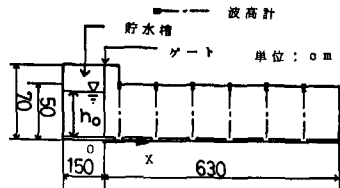


図-1 実験装置

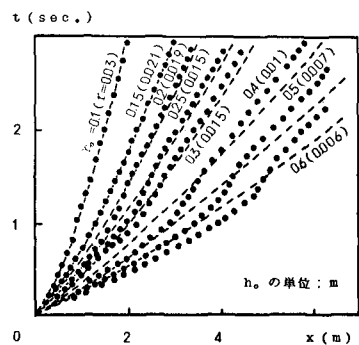


図-2 波先端の軌跡 (S/k=1.0)

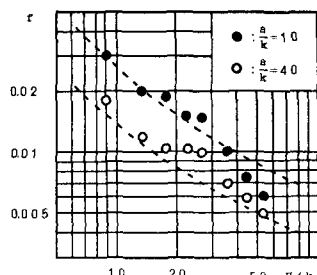


図-3 実験値と足立の式の比較

3-3 波先端部の波形 Whithamは次の「う境界層」の流速と流れ方の間に変化率 $\alpha$ と底面、2次先端の運動を導いた。同じ仮定を用ひ、さらに先端部では静水圧分布を考慮と仮定すると非定常項を考慮して波先端部の波形が得られる。これは次式で示される。

$$x' = \alpha - x = \frac{2}{\alpha} h - f g \left( \frac{\alpha}{h} \right)^2 \ln \left( 1 + \frac{\alpha}{f \alpha^2 h} \right) \quad (4)$$

$x = z$ ,  $x'$ : 波先端から上流側への距離,  $x$ :  $t=0$ から下流側への距離,  $h$ : 底面水深,  $f$ : 水理摩擦係数である。実験と理論との比較の一例を図-4に示す。これは $f=0.021$ と、本実験の条件が流れると非定常項は無視することができる。初期擾乱より流量があることが推定される。

3-4 エネルギー損失 境界層 $\delta$ はWhithamの解と(4)式、非境界層部はRitterの解が成立すると仮定すると全エネルギー損失 $E_d$ と底面摩擦 $E_s$ によるエネルギー損失 $E_{ds}$ は計算されることが可能である。次式で示される。

$$E_d = - \frac{1}{16} \rho g h^2 / g h_0 p^4 (1 - \frac{1}{4} p) t + \frac{1}{2} \rho g \int_0^h h^2 dx \quad (5)$$

$$E_s = - \frac{\rho g h^3}{f} (0.00162 p^3 + 0.000685 p^2 + 0.000336 p^9 + 0.000163 p^{10} + 0.000098 p^{11} + 0.000030 p^{12} + 0.000026 p^{13} - 0.000119 p^{14} + \dots) \quad (6)$$

$z = z$ ,  $p$ : 流体密度,  $\delta = 2/\sqrt{gh_0}(1 - \frac{1}{4}p)t$  で示される。境界層終端の位置。 $E_d$ と $E_s$ の計算結果の一例を図-5に示す。これによると、本研究における境界層は流れによって表面部でのエネルギー損失よりも底面摩擦による損失の方が卓越的であることが予想される。

3-5 算定計算 本実験の数値シミュレーションを試みる。平面方程式は浅水理論である。但し、波先端部はWhithamの考え方を用いる。計算手法は特征曲線法である。波先端部の境界条件は(1)と(2)式から得られる曲線上 $z$ ,  $C = 0$ かつ  $U = \sqrt{gh_0}(2-p)$ ---(7)背後の境界条件は、奥の波が貯留せざる後端に達するまで、 $x = -\sqrt{gh_0}$ まで上 $z$ ,  $C = \sqrt{gh_0}$ かつ  $U = 0$ ---(8) 後端に達した後、つづり $x = \frac{L_0}{\sqrt{gh_0}}$ のとき、 $x = L_0$ まで、 $C = \frac{1}{3}\sqrt{gh_0} + \frac{2}{3}\sqrt{gh_0}$ かつ  $U = 0$ ---(9)  $z = z$ ,  $C$ : 波速,  $U$ : 粒子速度,  $L_0$ : 脱留長。実験と計算の比較の一例を図-6に示す。図中の「実験結果」は境界層の存在を示す。場合の計算結果である。(A)は水位の時間波形で、初期に除く2kmの厚さからの蓄積傾向は本研究の考え方と理論可能であることが判明。(B)は流速の時間変化で、波形と同様に一致する。実験では波先端部通過時の立ち上がりやくじらなどの特徴、これは電磁流速計の応答の範囲に影響される。

4. まとめ Whithamの方法は底面水深に依り大きく変化する。特に、不規則性に対する適応性が問題である。ドライ・ベッド上の急激な変動の波先端部では非定常項を無視することができず、エネルギー損失の大部分が底面摩擦によるものと推定される。本実験範囲内では本研究の考え方で数値シミュレーションが可能である。

最後に、本研究の遂行に当り東北大学工学部山路弘人技官と当時学生である山下明義君の努力によるものである。また、2回連続の奨励金を受けることができた。

参考文献 1) Whitham, G.B.: Proc. Royal Society, A, Vol. 227, pp. 399-407, 1956. 2) 宮田BB平: 工業力学論文集 104号, pp. 33-44, 1964. 3) Cross, R.H.: Proc. ASCE, Vol. 93, W.W., pp. 201-231, 1967.

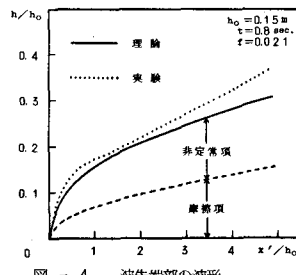


図-4 波先端部の波形

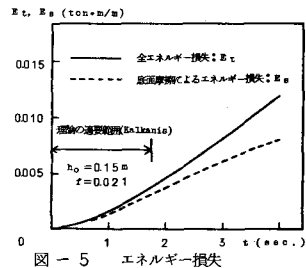
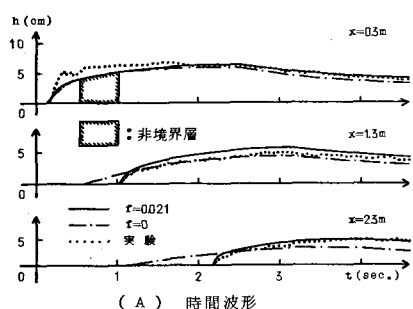


図-5 エネルギー損失



(A) 時間波形

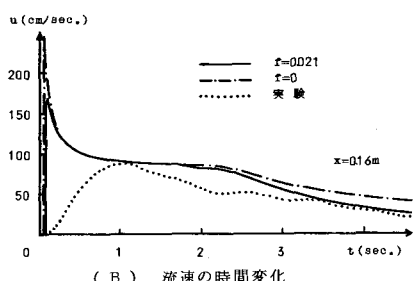


図-6 実験値と計算値の比較 ( $h_0 = 0.15 \text{ m}$ )